



BENEFIT

Boosting the telecommunications
engineer profile to meet modern
society and industry needs

Sistemi sa više brzina (13M031SVB)

Deo 1

Master studije

Jelena Ćertić, Katedra za Telekomunikacije,
Elektrotehnički fakultet, Univerzitet u Beogradu

Co-funded by the
Erasmus+ Programme
of the European Union



The European Commission's support for the production of this publication does not constitute an endorsement of the contents, which reflect the views only of the authors, and the Commission cannot be held responsible for any use which may be made of the information contained therein.

Opšte informacije

- Predavanja: dr Jelena Ćertić, vanredni profesor
- Vežbe: dr Miloš Bjelić, asistent
- Formiranje ocene: projekat (70 %) i usmeni ispit (30%)
- https://www.etf.bg.ac.rs/fis/karton_predmeta/13M031SVB-2013
- <http://telit.etf.rs/kurs/sistemi-sa-vise-brzina/>

Literatura

- Lj. Milić, *Multirate Filtering for Digital Signal Processing: MATLAB Applications*, IGI Global, 2009.
- G. Dolecek, *Multirate Systems, Design and Application*, Idea Group Publishing, 2002.
- N. J. Fliege, Multirate Digital Signal Processing: Multirate Systems - Filter Banks - Wavelets, Wiley, 2000.
- Ljiljana Milić, Jelena Ćertić i Irena Janković, *Solution Manual to accompany Multirate Filtering for Digital Signal Processing: MATLAB Applications*, [Online]. http://home.etf.rs/~milic/Solution_Manual/index.html

Sadržaj kursa

- Osnove sistema sa više brzina, downsampling, upsampling, decimation, interpolation
- Filtri u sistemima sa više brzina (FIR i IIR)
- Promena frekvencije odabiranja sa racionalin i sa proizvoljnim faktorom
- Tehnike obrade signala sa više brzina u projektovanju filtara
- Filtarske banke (banke sa savršenom i sa približno savršenom rekonstrukcijom)
- Sistemi sa više brzina u telekomunikacionim i audio sistemima

Analogno-digitalna konverzija

- *Nyquist*-ovo odabiranje

$$f_{sampling} \geq 2 f_{max}$$

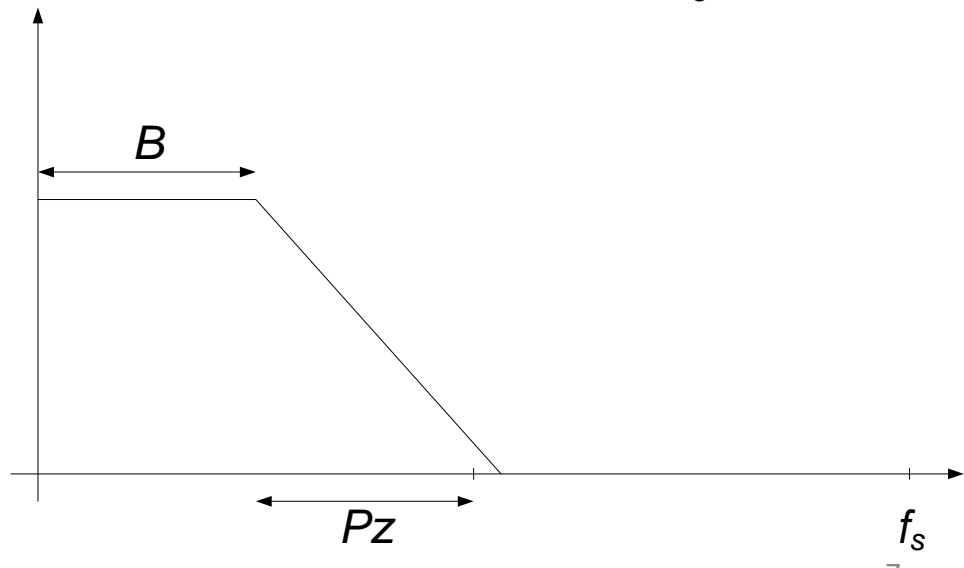
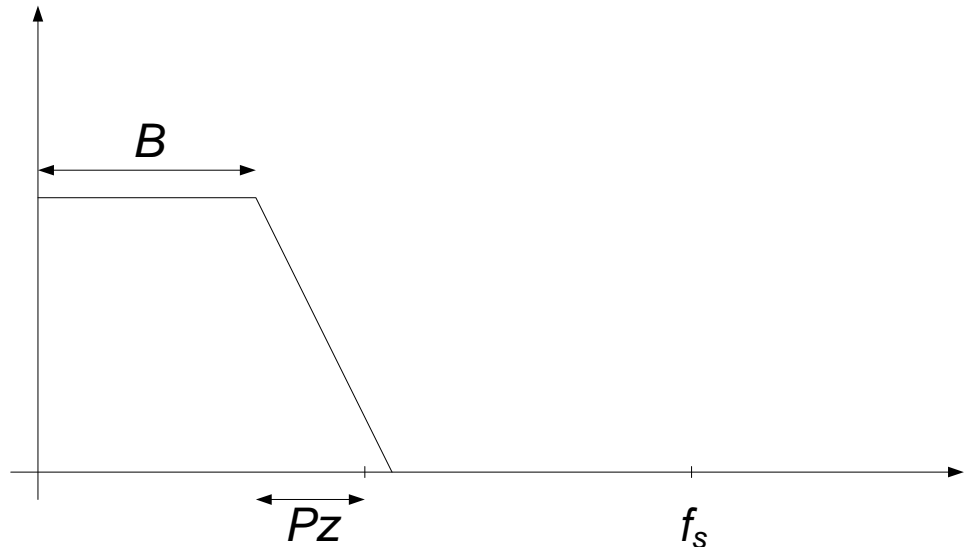
- Nadodabiranje
- Pododabiranje

Nadodabiranje (*oversampling*)

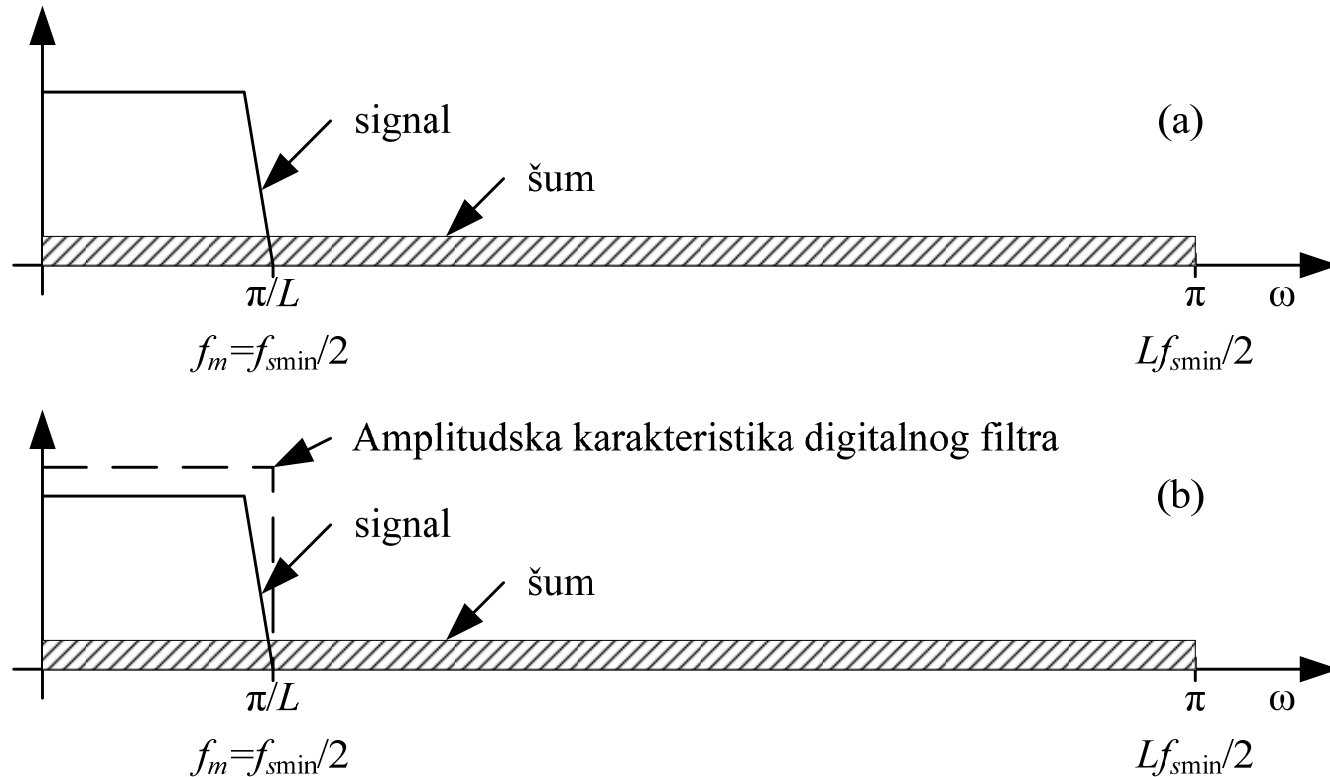
- Signal se odabira sa frekvencijom odabiranja Lf_{smin} pa se u digitalno domenu frekvencija odabiranja smanjuje na f_{smin}
- Prednosti:
 - Jednostavnija realizacija analognog prefiltrra
 - Dodatno potiskivanje šuma kvantizacije

Nadodabiranje

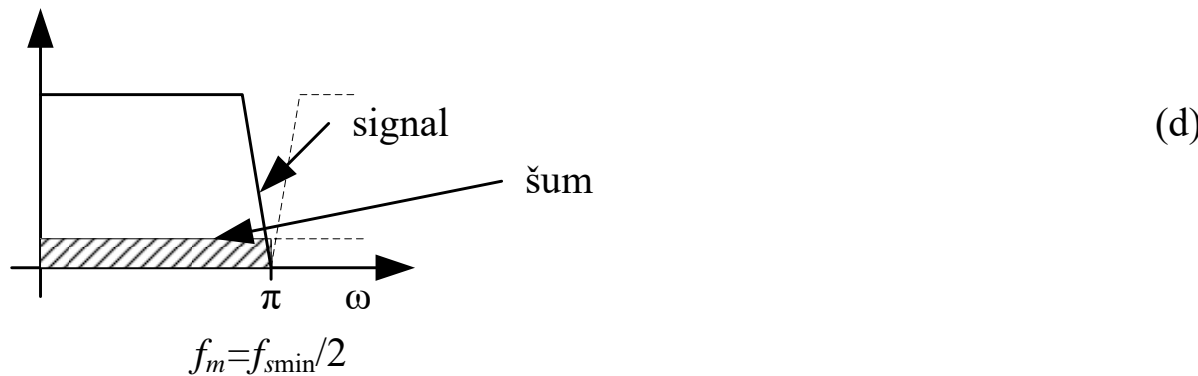
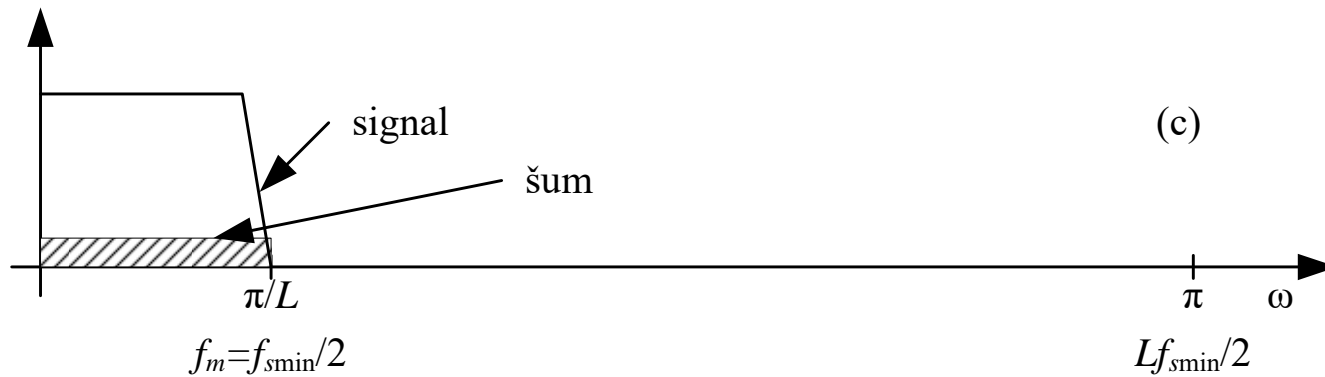
Manje strogi zahtevi
za anti-aliasing filter



Nadodabiranje



Nadodabiranje

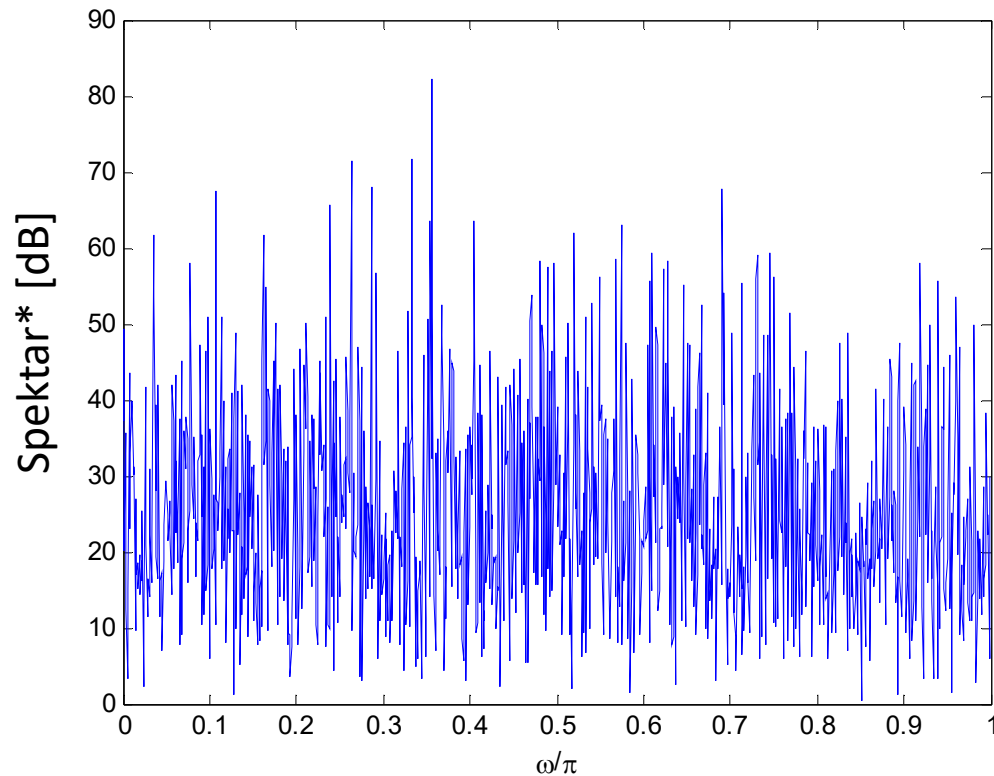


Nadodabiranje

- Šum kvantizacije se može modelovati kao signal $noise[n]$ nezavisan od korisnog signala $s[n]$
- Odogvarajuće Furijeove transformacije su:
 $N(e^{j\omega})$ i $S(e^{j\omega})$.
- Pretpostavka je da je maksimalna frekvencija u spektru korisnog signala $f_m = f_{smin}/2$ sto se, posle odabiranja s frekvencijom Lf_{smin} , preslikava u π/L .

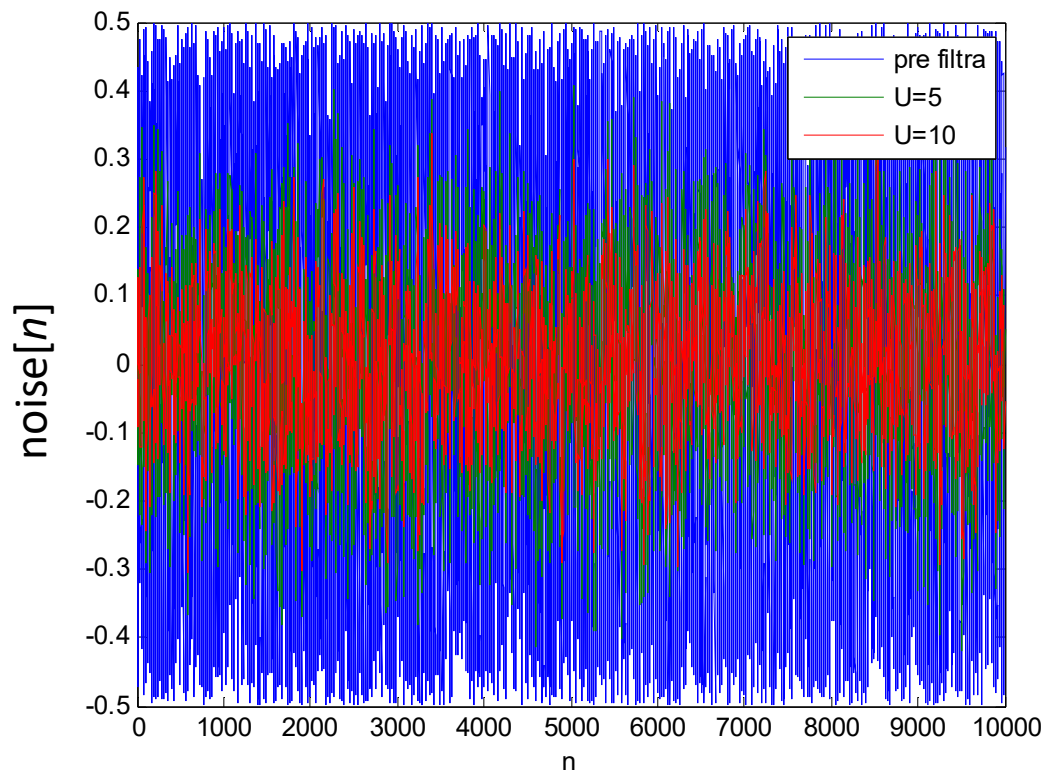
Nadodabiranje

Šum kvantizacije



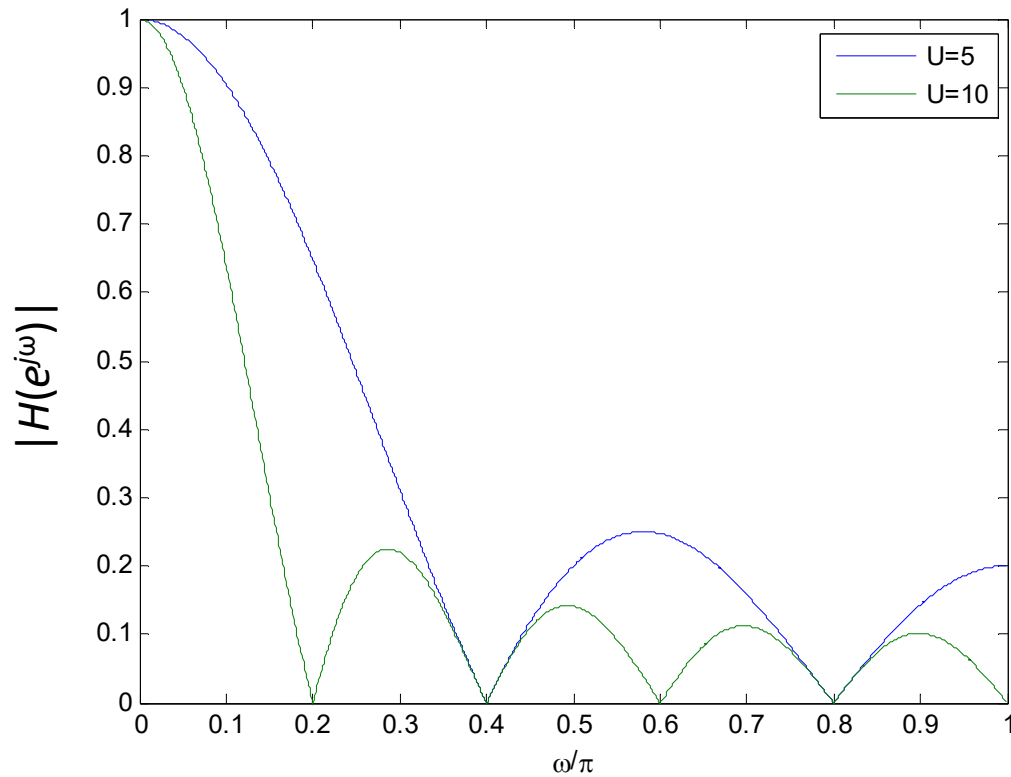
Nadodabiranje

Uticaj filtra na šum kvantizacije



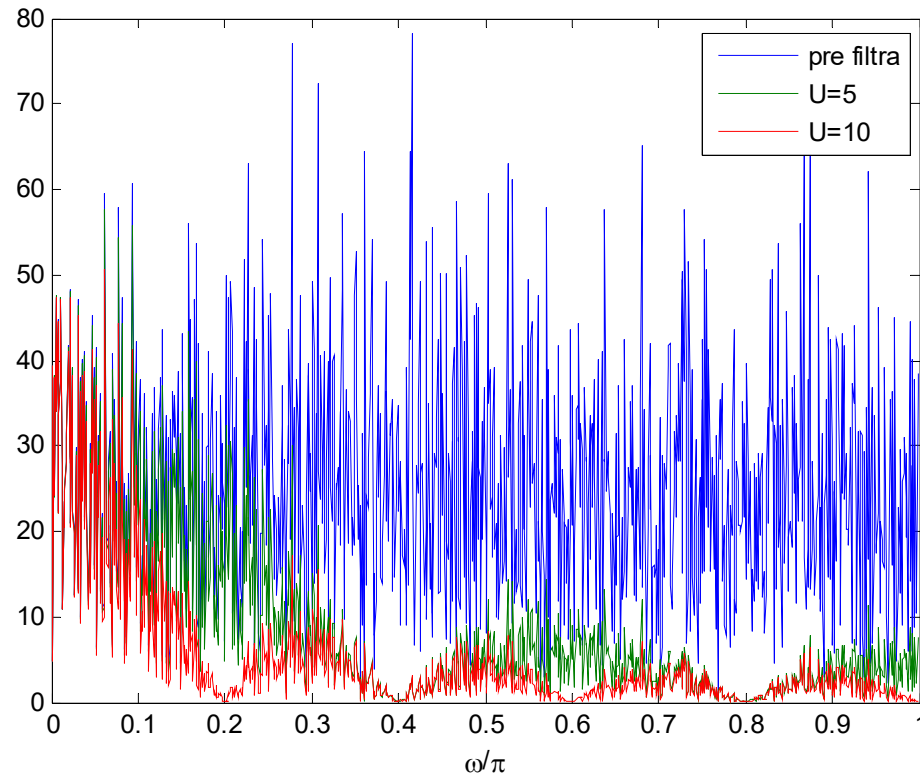
Nadodabiranje

Uticaj filtra $H(e^{j\omega})$ na šum kvantizacije, filtri za usrednjavanje dužine $U=5$ i $U=10$



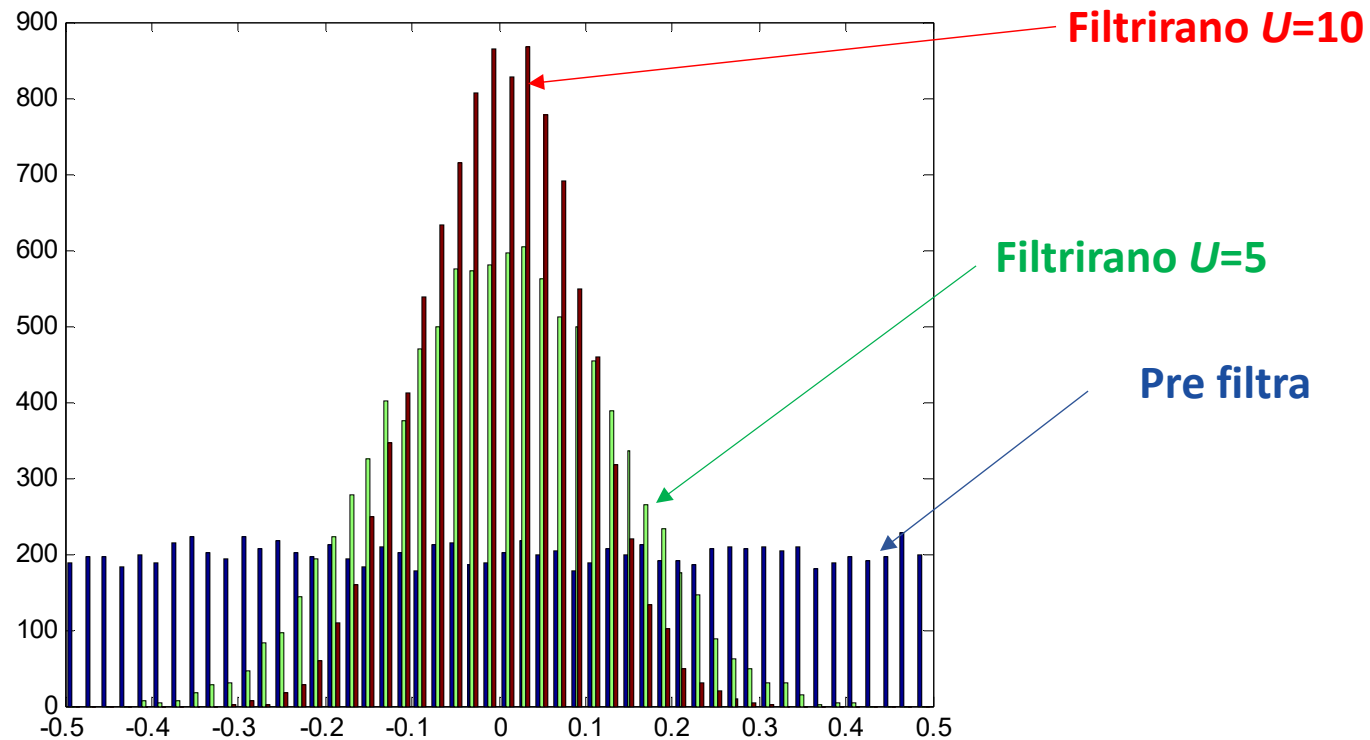
Nadodabiranje

Uticaj filtra $H(e^{j\omega})$ na šum kvantizacije

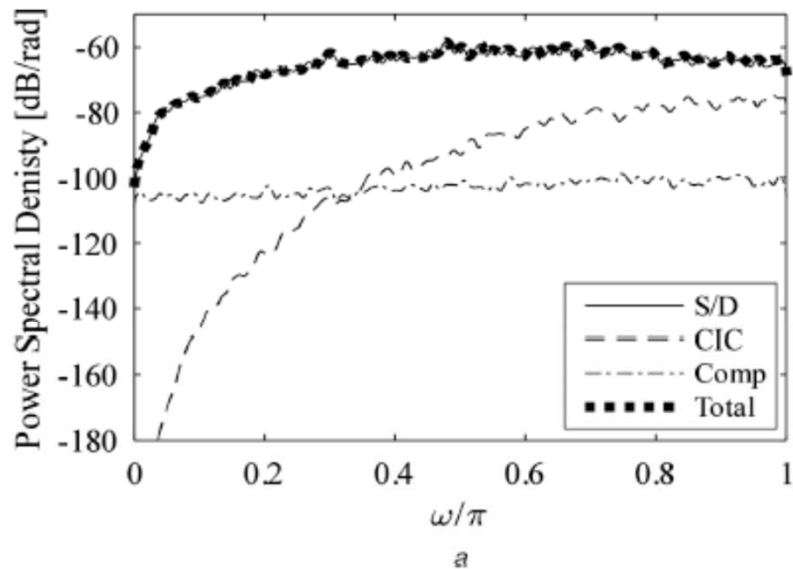


Nadodabiranje

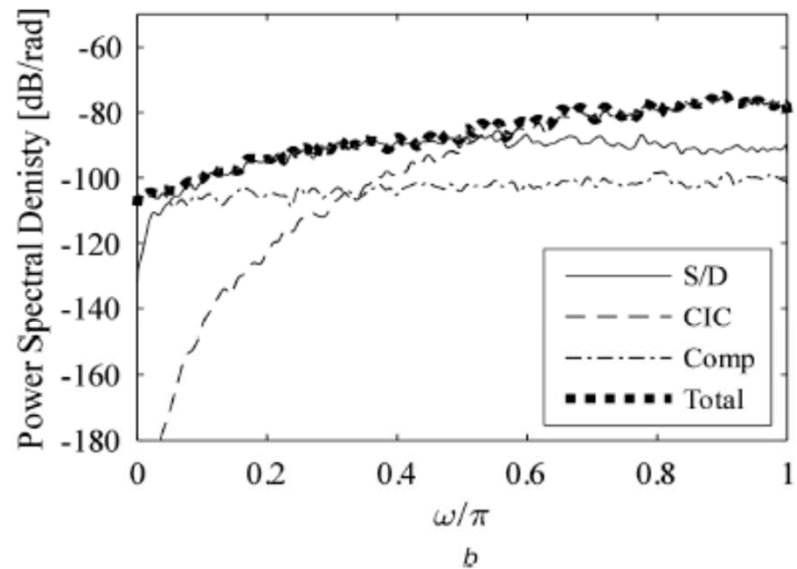
Uticaj filtra na šum kvantizacije – filtriranje menja raspodelu amplituda odbiraka šuma – počinje da „liči“ na Gausovu raspodelu



Nadodabiranje



a



b

Fig. 8 Power spectral density quantisation noise at the input, the CIC filter and in the compensation filter

(a) $M = 16$, (b) $M = 128$

Bjelić M., Stanojević M., Ćertić J. D. and Merkle M., “Statistical properties of quantisation noise in analogue-to-digital converter with oversampling and decimation”, *IET Circuits, Devices & Systems*, vol. 11, no. 5, pp. 421-427, September 2017.

Pododabiranje (*Undersampling*)

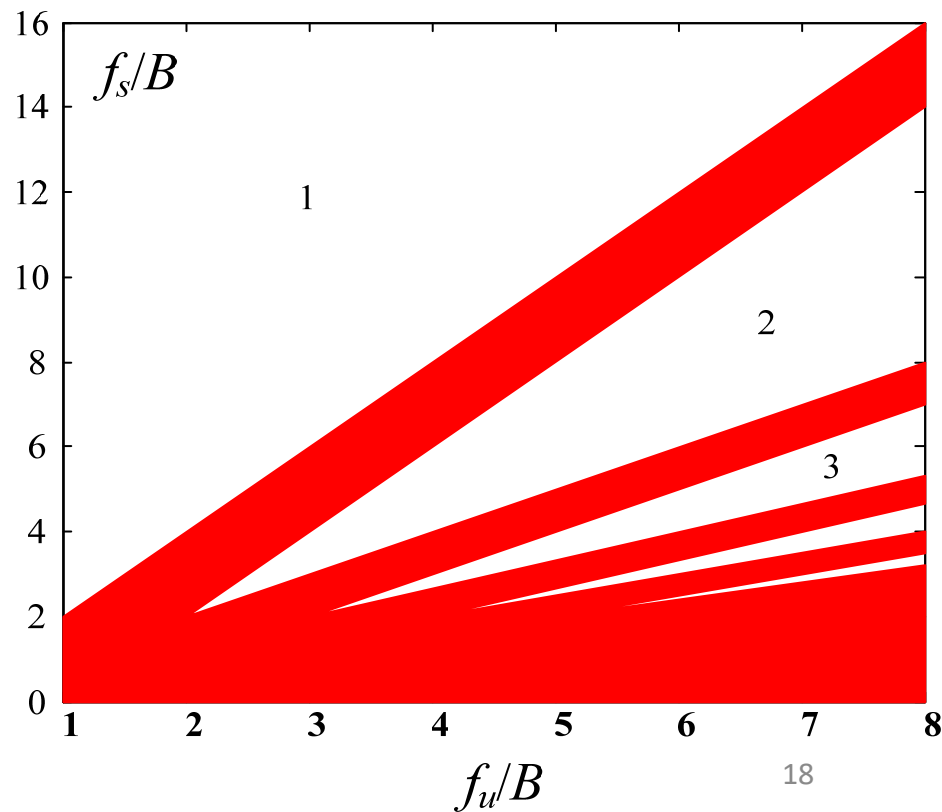
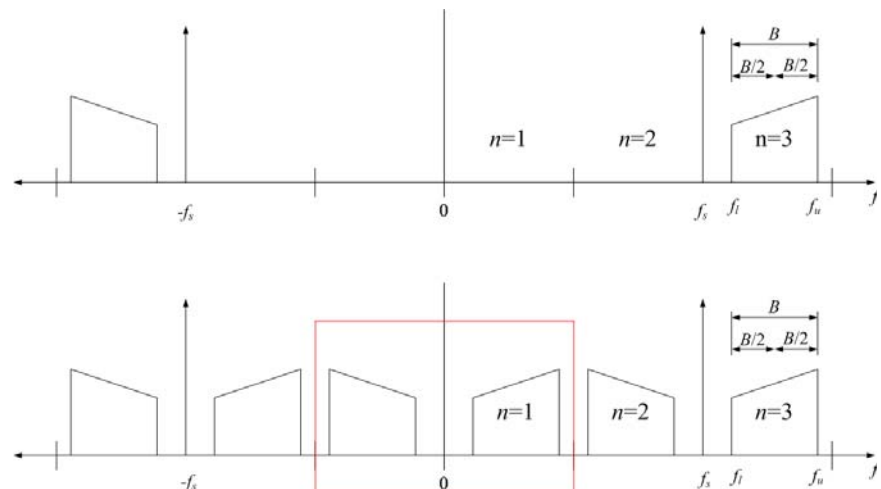
- Najčešće je opseg signala koji je od interesa (u RF ili MF opsegu) mnogo manji od maksimalne frekvencije u signalu:

$$\frac{2f_u}{n} \leq f_s \leq \frac{2f_l}{n-1}$$

- Pododabiranje smanjuje ukupan broj odbiraka koji se obrađuju u procesoru:
 - “Štedi se” procesorsko vreme - mogu se implementirati složeniji algoritimi
 - Potrebno je manje memorije

Pododabiranje

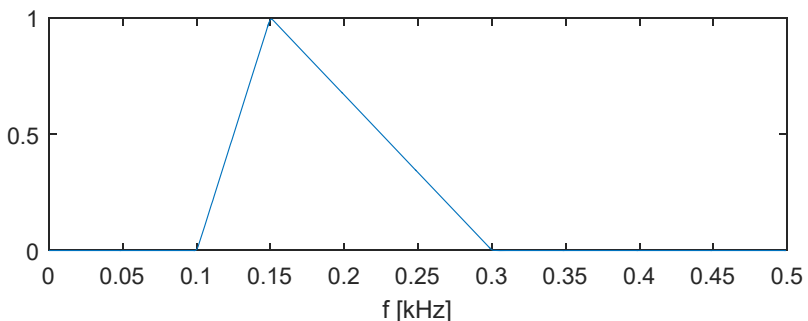
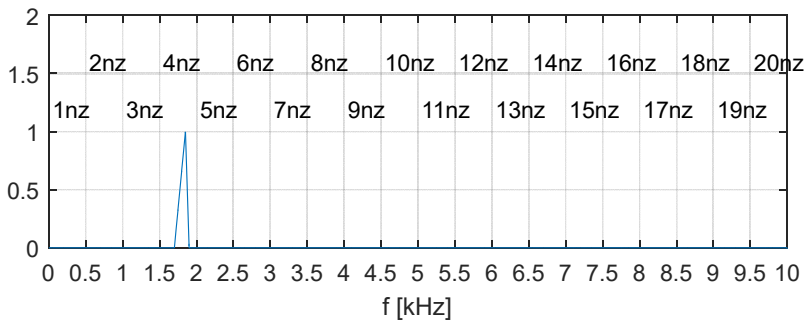
$$\frac{2f_u}{n} \leq f_s \leq \frac{2f_l}{n-1}$$



Pododabiranje

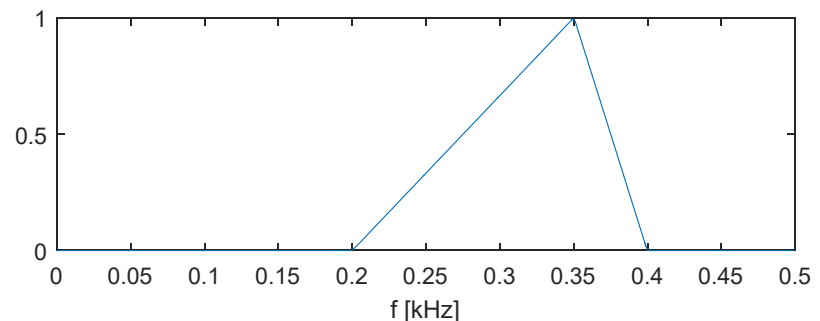
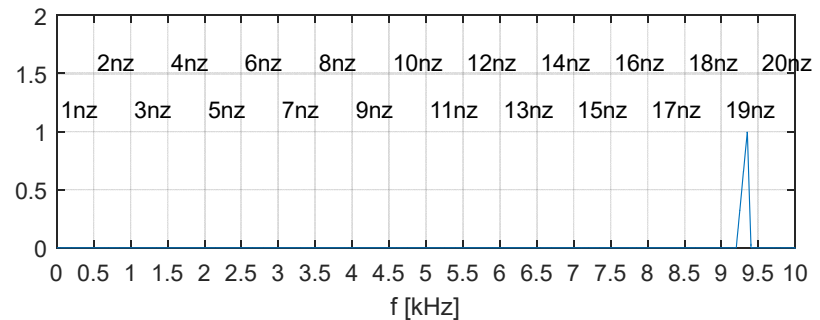
$$\frac{2 \cdot 1.9}{4} \text{ kHz} \leq f_s \leq \frac{2 \cdot 1.7}{3} \text{ kHz}$$

$$0.95 \text{ kHz} \leq f_s \leq 1.13 \text{ kHz}$$



$$\frac{2 \cdot 9.4}{19} \text{ kHz} \leq f_s \leq \frac{2 \cdot 9.2}{18} \text{ kHz}$$

$$0.99 \text{ kHz} \leq f_s \leq 1.02 \text{ kHz}$$



Sistemi sa više brzina

- Frekvencija odabiranja nije ista za ceo sistem
- Pojedinim delovima sistema odgovaraju različite frekvencije odabiranja
- Primeri:
 - Digitalni deo savremenih radio prijemnika
 - Konverzija između različitih standarda za audio aplikacije (na primer, 44100Hz i 48000Hz)
 - CD

Softverski radio – tipičan primer sistema sa više brzina

- U svakom radio uređaju, deo obrade signala obavlja se u analognom domenu
- Nove tehnologije omogućavaju da se deo obrade signala obavlja digitalno
 - digitalno-analogna konverzija se pomera sve više ka izlazu iz predajnika
 - analogno-digitalna konverzija sve više se pomera ka ulazu u prijemnik
- Digitalna obrada signala može se izvesti softverski!

Softverski radio - prednosti

- Jednostavniji prijemnici i predajnici
- Kompatibilnost sa novim oblicima signala, uključujući nove postupke modulacije i zaštitnog kodiranja, jer se uređaj može jednostavno reprogramirati
- Mogućnost da se jedan uređaj koristi u razne svrhe (podržava različite standarde)

Softverski radio - prednosti

- Mogućnost da se 'u hodu' prebacuje sa jedne na drugu emulaciju radija, kako bi se omogućila interoperabilnost sa postojećim uređajima u blizini
- Smanjenje zone zračenja platforme i ušteda energije u situacijama kada više konvencionalnih uređaja treba zamjeniti jednim softverskim koji može da ih emulira

Softverski radio – arhitektura

- U softverskom prijemniku funkcionalnost je, umesto hardverom, definisana softverom
- Glavno ograničenje u funkcionalnosti digitalnog prijemnika prestavlja snaga trenutno raspoloživog DSP hardvera
- Na današnjem tehnološkom nivou, softverski prijemnik još uvek se NE realizuje kao potpuno digitalan, već kao hibrid analognog ulaznog stepena na radio-frekvenciji i digitalnog stepena

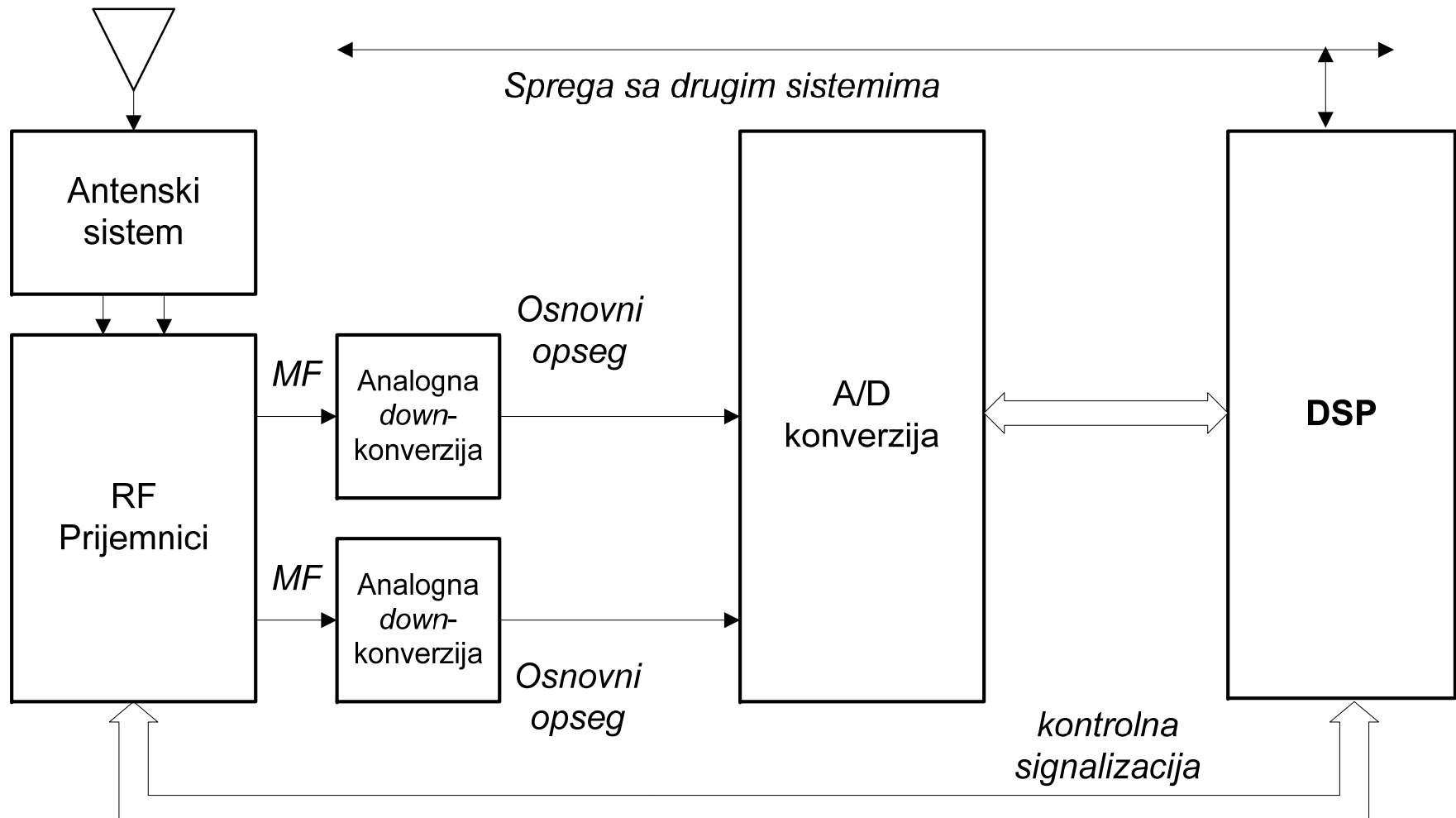
Softverski radio – arhitektura

- Potrebno je definisati mesto u predajniku na kome se vrši D/A konverzija, odnosno mesto u prijemniku na kome se vrši A/D konverzija
- Sa stanovišta obrade najpogodnije je rešenje u kome je praktično ceo sistem digitalan
- S aspekta raspoloživosti potrebnih komponenti jednostavnije je realizovati sistem u kome se deo predajnika realizuje u analognoj a deo u digitalnoj tehnologiji

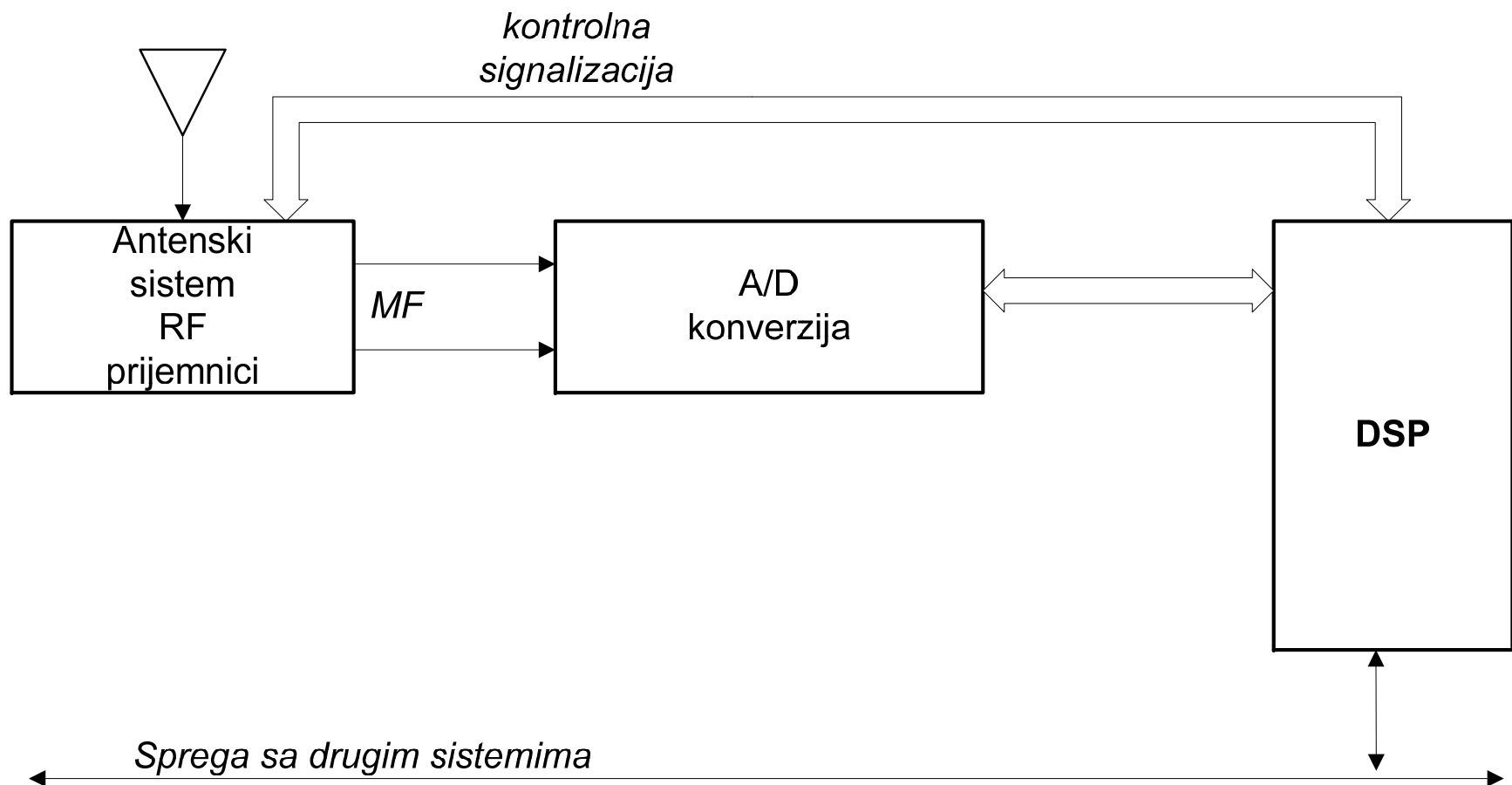
Softverski radio – arhitektura

- Kritična je pre svega sama analogno-digitalna i digitalno-analogna konverzija, odnosno mogućnosti trenutno raspoloživih A/D i D/A konvertora
- Kada su na raspolaganju konvertori potrebnih brzina, direktna sprega brzog A/D konvertora (u prijemniku) s procesorom bi podrazumevala da procesor najveći deo raspoloživog vremena "troši" samo na prihvatanje podataka s A/D konvertora
- Između samog A/D konvertora i procesora postoji blok za digitalnu down-konverziju i decimaciju koji rasterećuje procesor

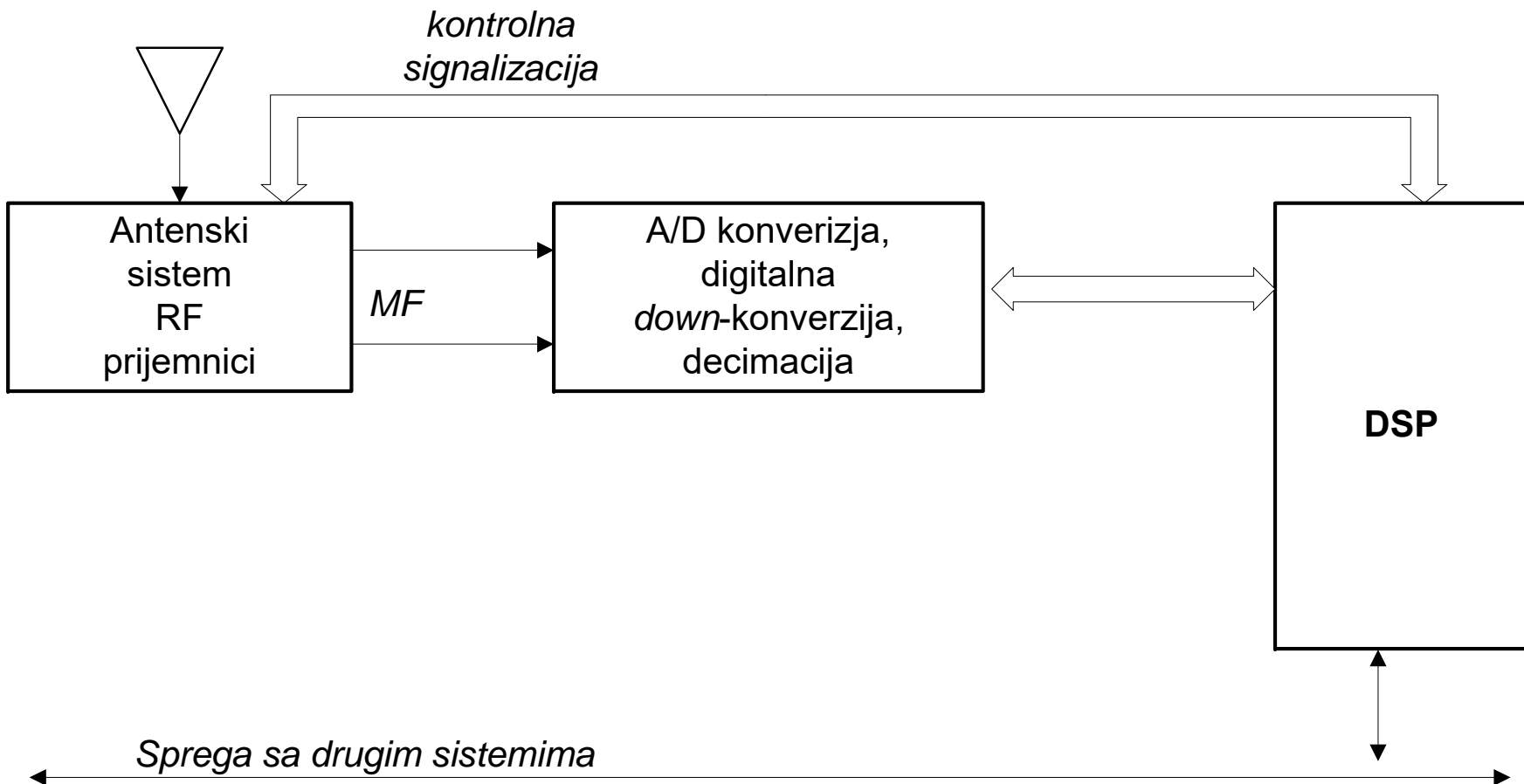
SDR - arhitektura - verzija I



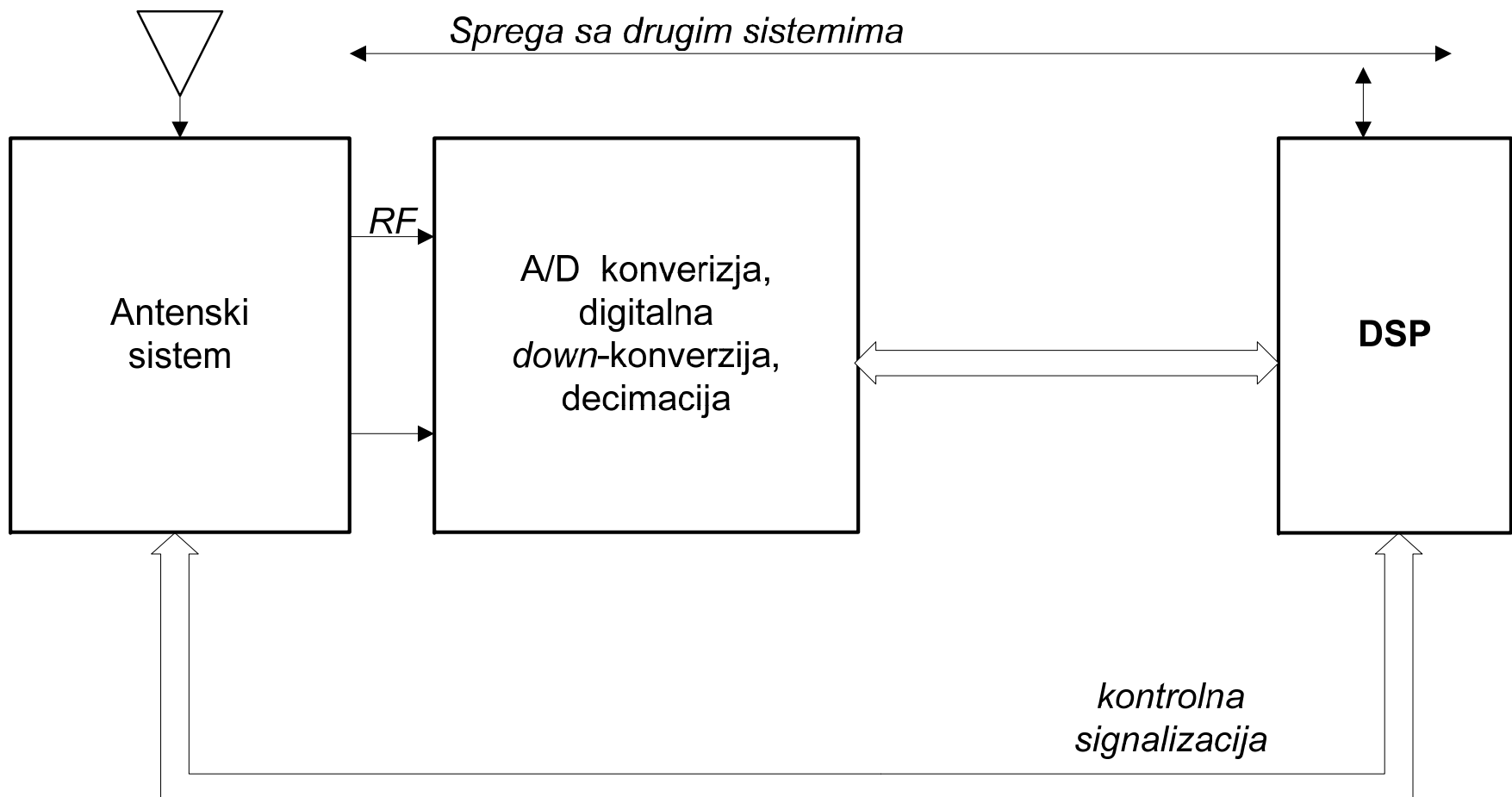
SDR - arhitektura - verzija II



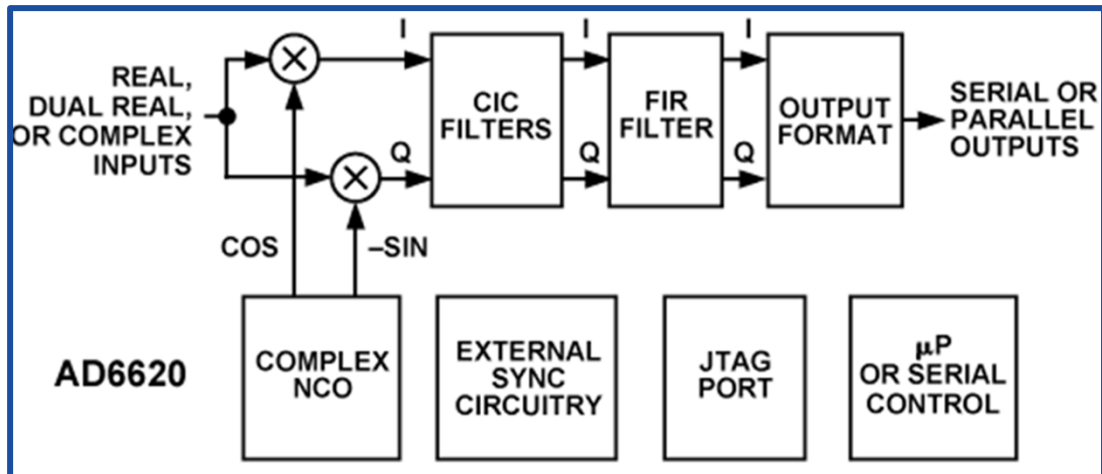
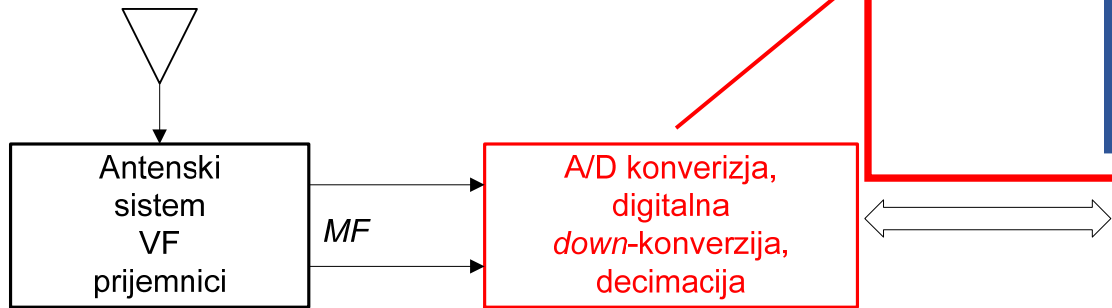
SDR - arhitektura - verzija III



SDR - arhitektura - verzija IV

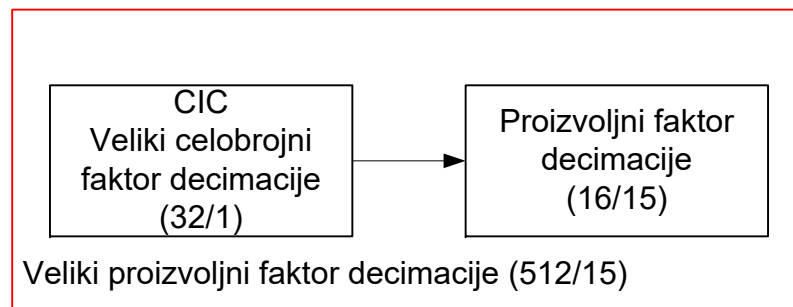


SDR

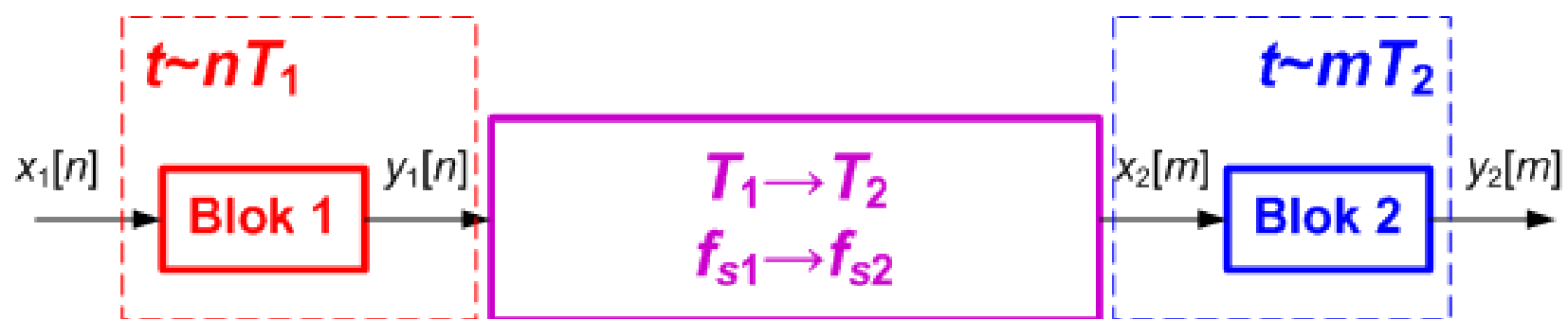
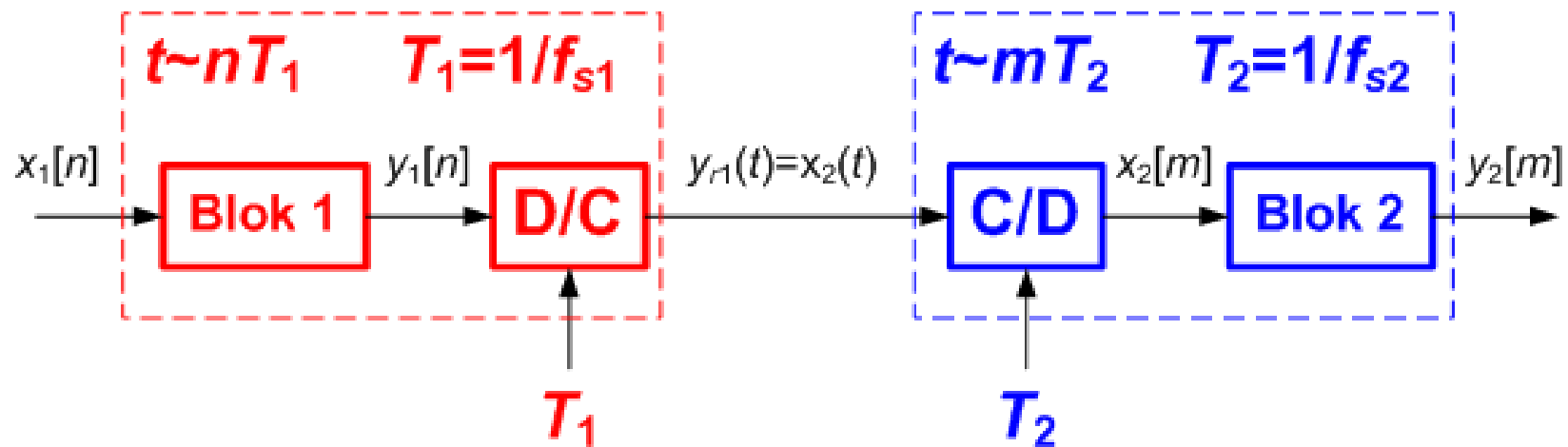


Decimacija

- U softverskom radiju tipično se koriste:
 - CIC filtri za velike celobrojne faktore decimacijske interpolacije (često oblika 2^k)
 - Promena učestanosti sa proizvoljnim faktorom (na taj način se obezbeđuje veća fleksibilnost i prilagodljivost sistema)



Sistemi sa više brzina



Osnovne operacije (blokovi) za promenu frekvencije odabiranja

- *Downsampling* – smanjuje frekvenciju odabiranja za celobrojni faktor M
- *Upsampling* – povećava frekvenciju odabiranja za celobrojni faktor L

Downsampling

- Downsampling sa faktorom M se realizuje tako što se zadržava svaki M -ti odbirak signala a ostali se odbacuju

$$\{y[m]\} = \{x[mM]\}$$

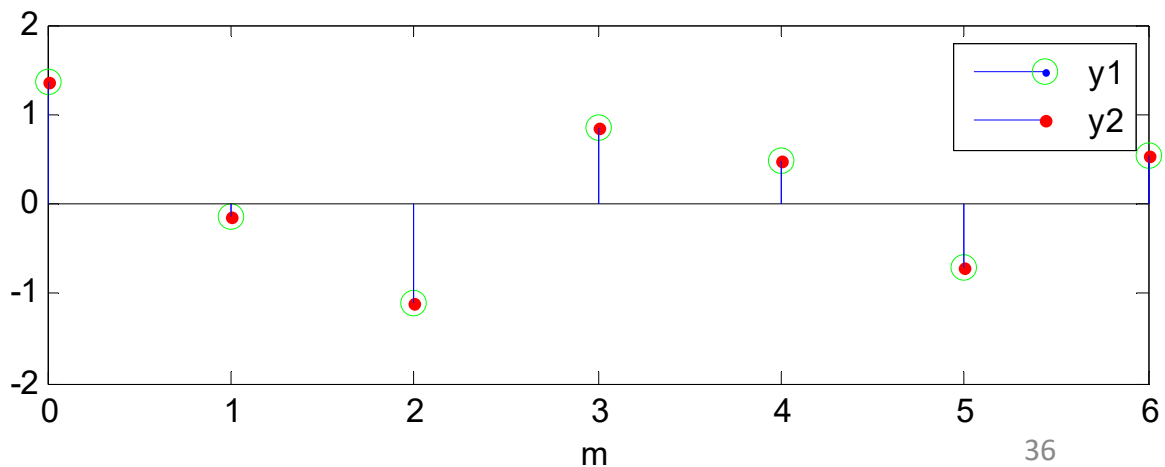
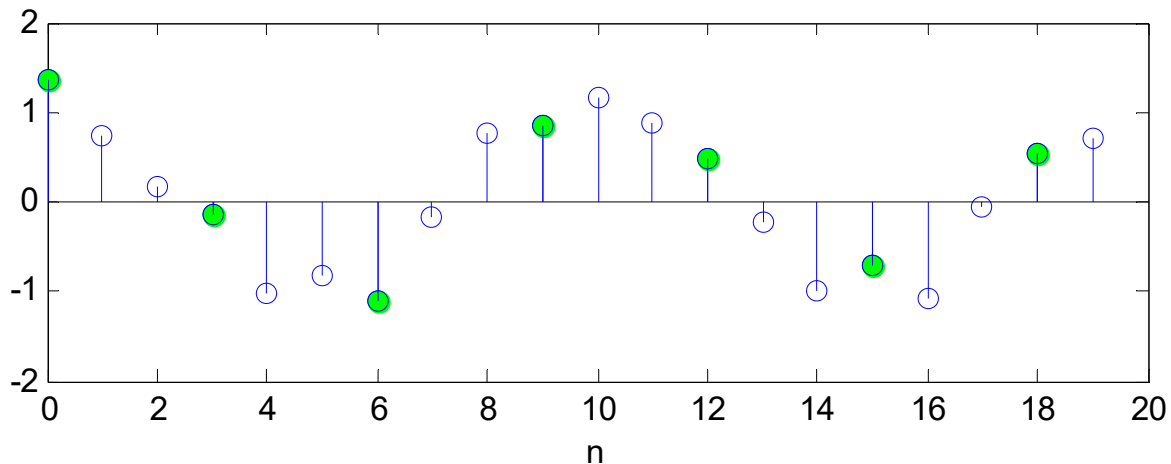
- Šematski se označava blokom:



Downsampling

$$\{y[m]\} = \{x[mM]\}$$

```
M=3;
y1=x(1:M:end);
y2=downsample(x,M);
figure,subplot(2,1,1),stem(n,x);
hold on
stem(0:M:N-1,x(1:M:N),...),
xlabel('n');
subplot(2,1,2),
stem(0:length(y1)-1,y1,...);
hold on
stem(0:length(y1)-1,y2,...),
xlabel('m'),legend('y1','y2');
```

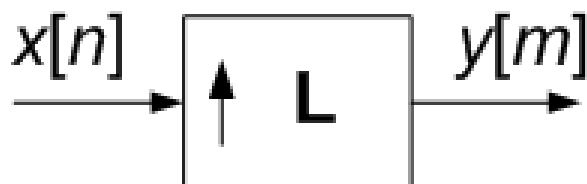


Upsampling

- Upsampling sa faktorom L se realizuje tako što se dodaje $L-1$ nultih odbiraka između svaka dva odbirka signala

$$y[m] = \begin{cases} x\left[\frac{m}{L}\right], & m = 0, \pm L, \pm 2L, \dots \\ 0, & \text{inac\v{e}} \end{cases}$$

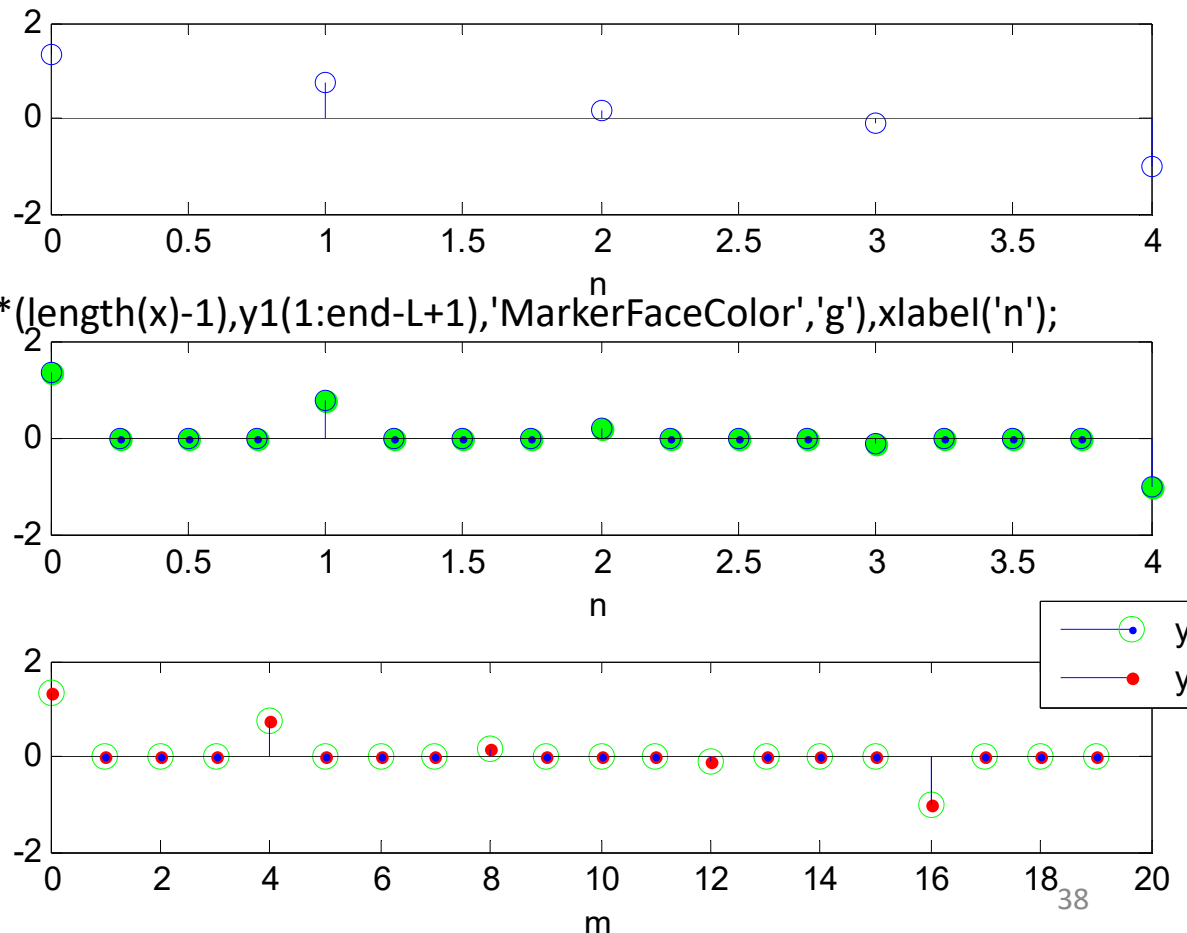
- Šematski se označava blokom:



Upsampling

```
L=4;
y1=zeros(L*length(x),1);
y1(1:L:end)=x;
y2=upsample(x,L);
figure,
subplot(3,1,1),stem(n,x),
xlabel('n');
subplot(3,1,2),
stem((0:length(y1)-L)/(length(y1)-L)*(length(x)-1),y1(1:end-L+1),'MarkerFaceColor','g'),xlabel('n');
subplot(3,1,3),
stem(0:length(y1)-1,y1,...);
hold on
stem(0:length(y2)-1,y2,...),
xlabel('m'),legend('y1','y2');
```

$$y[m] = \begin{cases} x\left[\frac{m}{L}\right], & m = 0, \pm L, \pm 2L, \dots \\ 0, & \text{inace} \end{cases}$$



Downsampling – spektralni domen

Da bi se izveo frekvencijski odziv *downsampling* bloka uvodi se pomoćna funkcija:

$$\{s_M[n]\} = \begin{cases} 1, & n = 0, \pm M, \pm 2M, \dots \\ 0, & \text{inace} \end{cases}$$

$$y_s[n] = x[n]s_M[n] = \begin{cases} x[n], & n = 0, \pm M, \pm 2M, \dots \\ 0, & \text{inace} \end{cases}$$

$$\{y[m]\} = \{y_s[mM]\} = \{x[mM]\}$$

Downsampling – spektralni domen

$$Y(z) = \sum_{m=-\infty}^{\infty} x[mM] z^{-m}$$

$$Y(z) = \sum_{m=-\infty}^{\infty} x[mM] z^{-m} = \sum_{m=-\infty}^{\infty} y_S[mM] z^{-m} = \sum_{k=-\infty}^{\infty} y_S[k] z^{-\frac{k}{M}} = Y_S\left(z^{\frac{1}{M}}\right)$$

$$Y_S(z) = \sum_{m=-\infty}^{\infty} s_M[n] x[n] z^{-n}$$

$$s_M[n] = \frac{1}{M} \sum_{k=0}^{M-1} W_M^{kn} \quad W_M = e^{-\frac{j2\pi}{M}}$$

Downsampling – spektralni domen

$$Y_S(z) = \frac{1}{M} \sum_{m=-\infty}^{\infty} \left(\sum_{k=0}^{M-1} W_M^{kn} \right) x[n] z^{-n} = \frac{1}{M} \sum_{k=0}^{M-1} \left(\sum_{n=-\infty}^{\infty} x[n] W_M^{kn} z^{-n} \right)$$

$$= \frac{1}{M} \sum_{k=0}^{M-1} X(z W_M^{-k})$$

$$Y(z) = \frac{1}{M} \sum_{k=0}^{M-1} X\left(z^{\frac{1}{M}} W_M^{-k}\right)$$

$$Y(e^{j\omega}) = \frac{1}{M} \sum_{k=0}^{M-1} X\left(e^{j\frac{\omega - 2\pi k}{M}}\right)$$

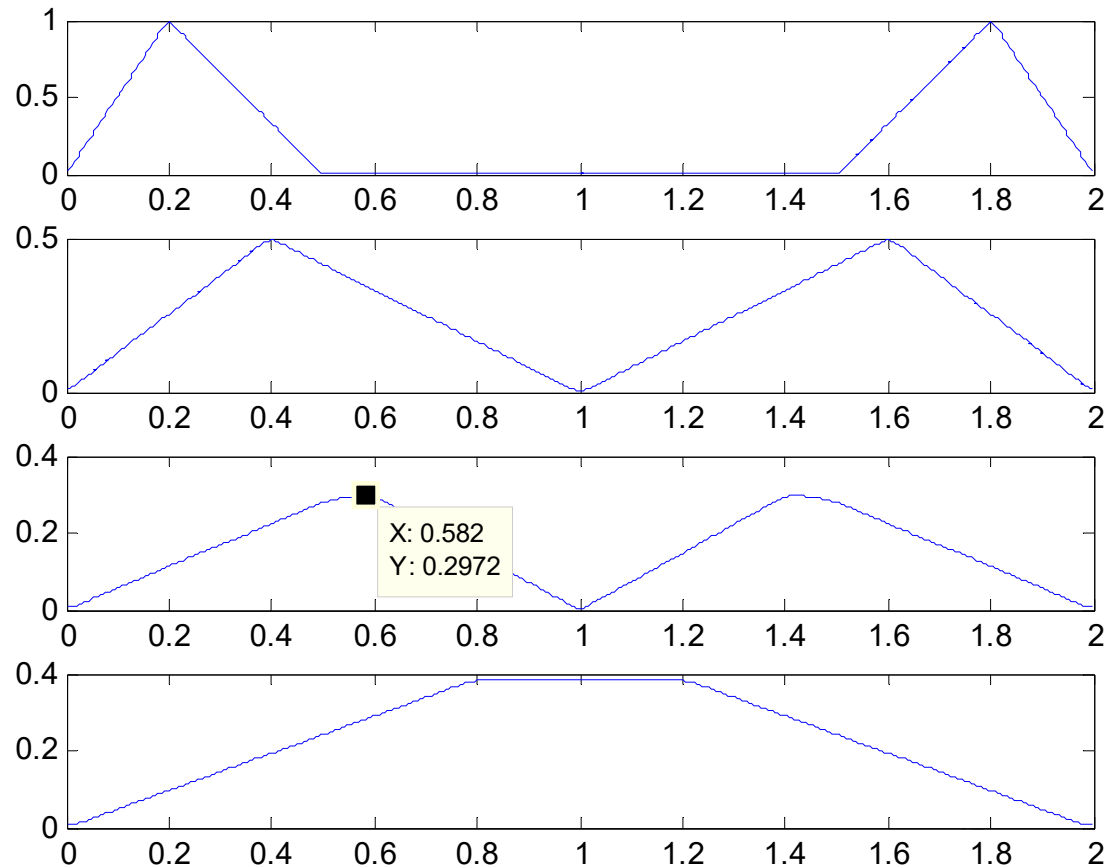
$$\omega_H \leq \frac{\pi}{M}$$

Ponovljene skalirane replike

Uslov da nema preklapanja!!!

Downsampling – spektralni domen

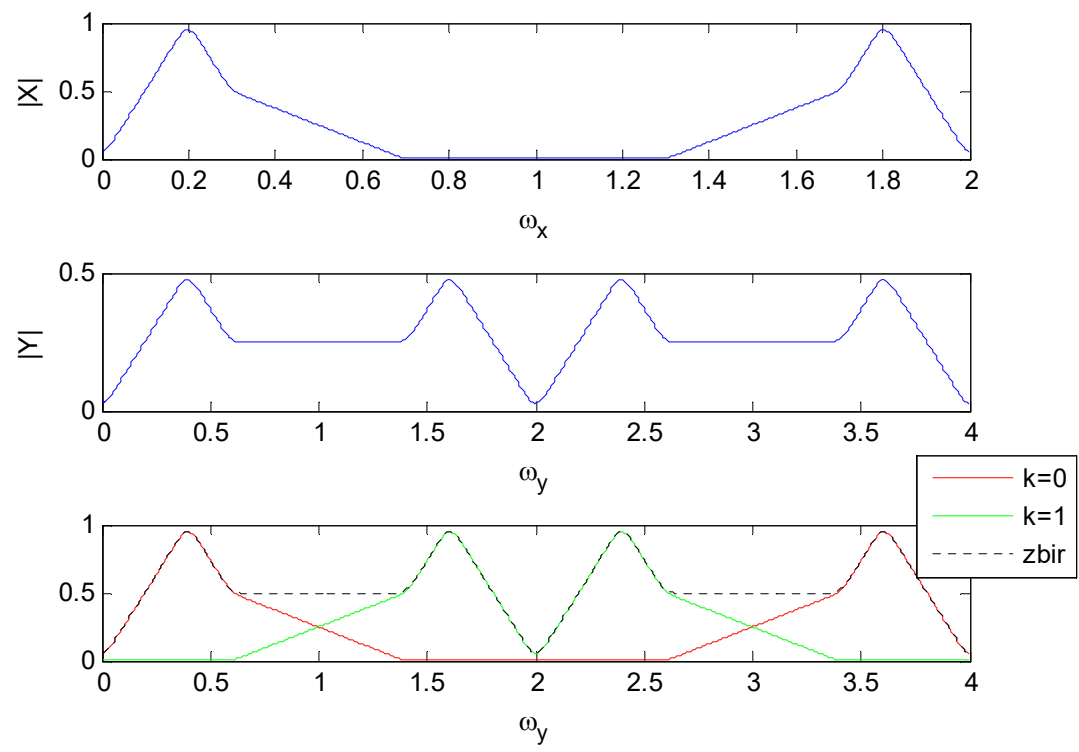
```
x2=x(1:2:end);
x3=x(1:3:end);
x4=x(1:4:end);
[X,w]=freqz(x,1,'whole');
[X2,w]=freqz(x2,1,'whole');
[X3,w]=freqz(x3,1,'whole');
[X4,w]=freqz(x4,1,'whole');
figure,
subplot(4,1,1);plot(w/pi,abs(X));
subplot(4,1,2);plot(w/pi,abs(X2));
subplot(4,1,3);plot(w/pi,abs(X3));
subplot(4,1,4);plot(w/pi,abs(X4));
```



Downsampling – spektralni domen

M=2

$$Y\left(e^{j\omega}\right) = \frac{1}{M} \sum_{k=0}^{M-1} X\left(e^{j\frac{\omega-2\pi k}{M}}\right)$$



Upsampling – spektralni domen

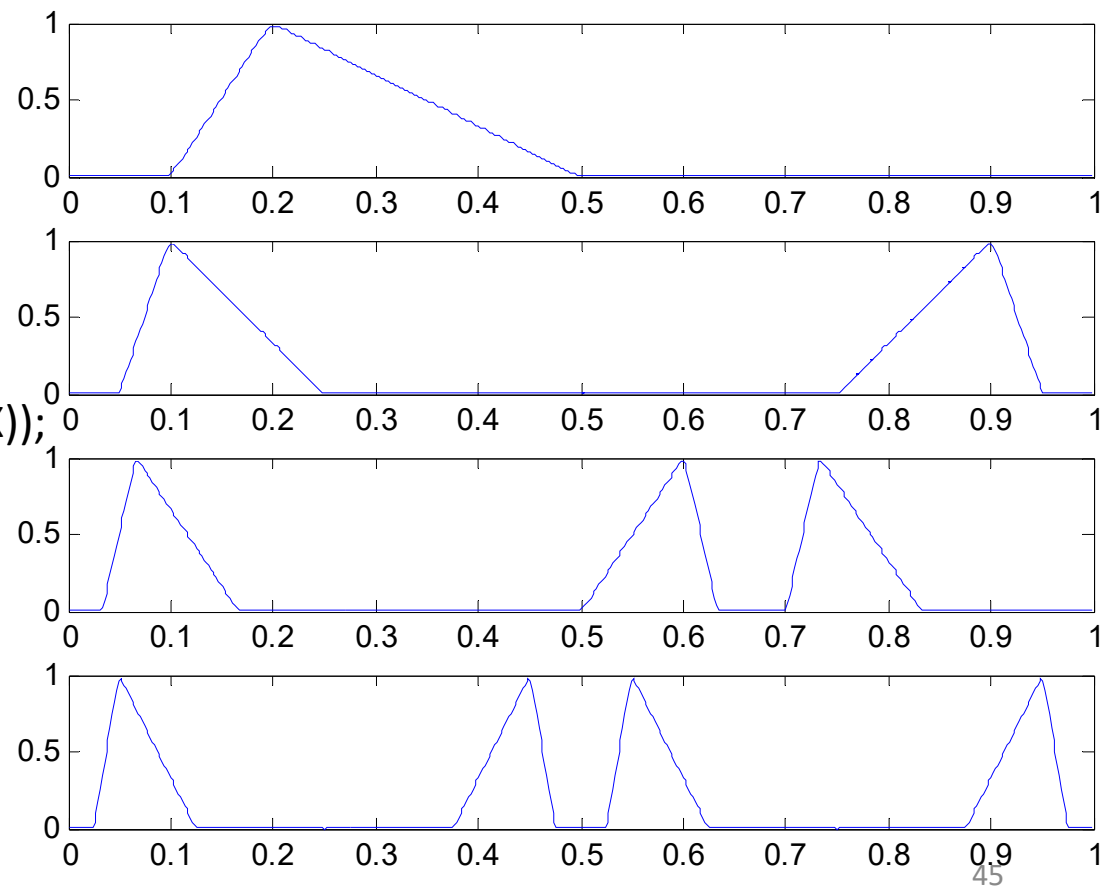
$$y[m] = \begin{cases} x\left[\frac{m}{L}\right], & m = 0, \pm L, \pm 2L, \dots \\ 0, & \text{inace} \end{cases}$$

$$Y(z) = \sum_{m=-\infty}^{\infty} y[m] z^{-m} = \sum_{\substack{n=-\infty \\ n=mL}}^{\infty} x\left[\frac{n}{L}\right] z^{-n} = \sum_{m=-\infty}^{\infty} x[m] z^{-Lm} = X(z^L)$$

$$Y(e^{j\omega}) = X(e^{j\omega L})$$

Upsampling – spektralni domen

```
x2=upsample(x,2);
x3=upsample(x,3);
x4=upsample(x,4);
[X,w]=freqz(x,1);
[X2,w]=freqz(x2);
[X3,w]=freqz(x3);
[X4,w]=freqz(x4);
figure,subplot(4,1,1);plot(w/pi,abs(X));
subplot(4,1,2);plot(w/pi,abs(X2));
subplot(4,1,3);plot(w/pi,abs(X3));
subplot(4,1,4);plot(w/pi,abs(X4));
```



Vremenska zavisnost

Operacija *downsampling*-a je vremenski zavisna –
NIJE Time Invariant

$$\{y[m]\} = \{x[mM]\}$$

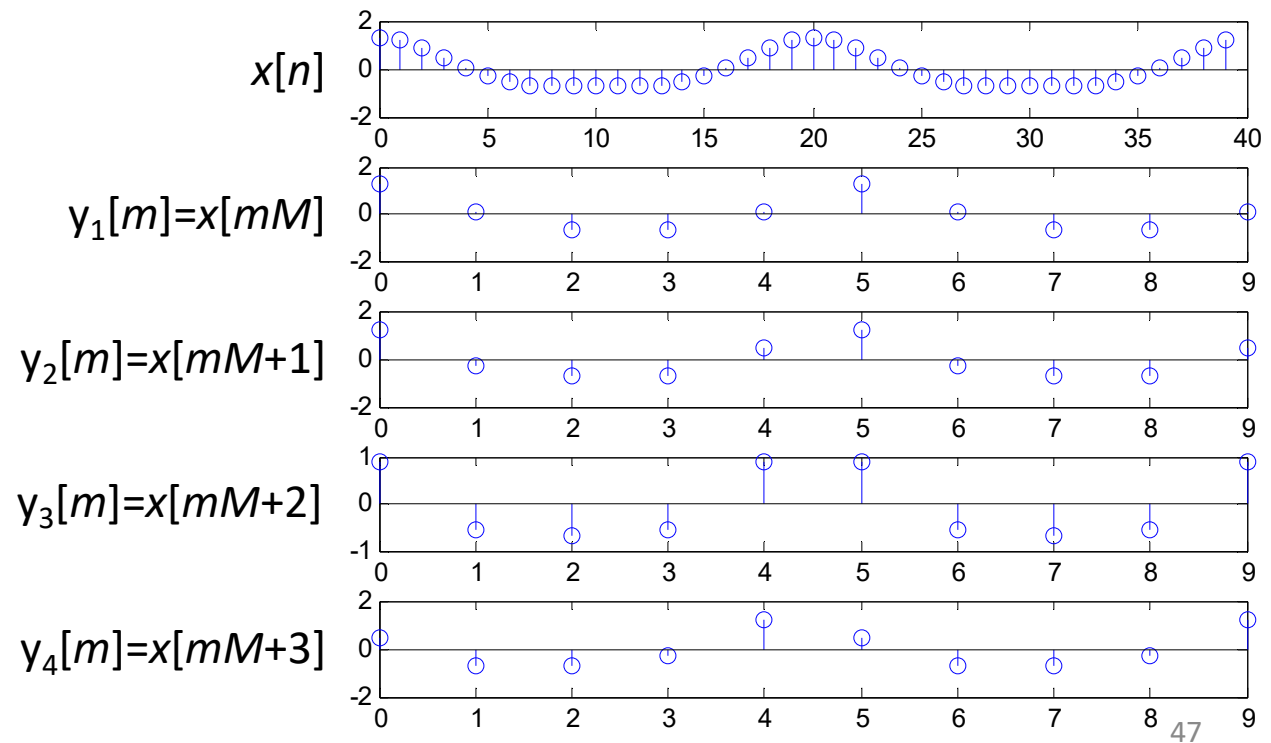
$$\{x_1[n]\} = \{x[n - n_0]\}$$

$$y_1[m] = x[mM - n_0] = y\left[\frac{mM - n_0}{M}\right] = y\left[m - \frac{n_0}{M}\right] \neq y[m - n_0]$$

Vremenska zavisnost

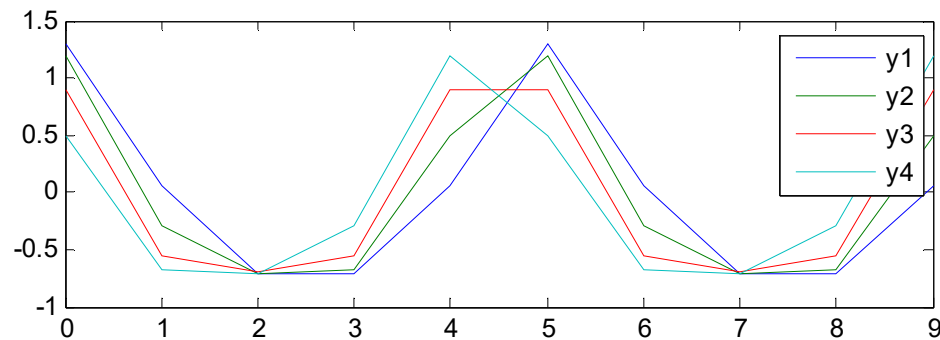
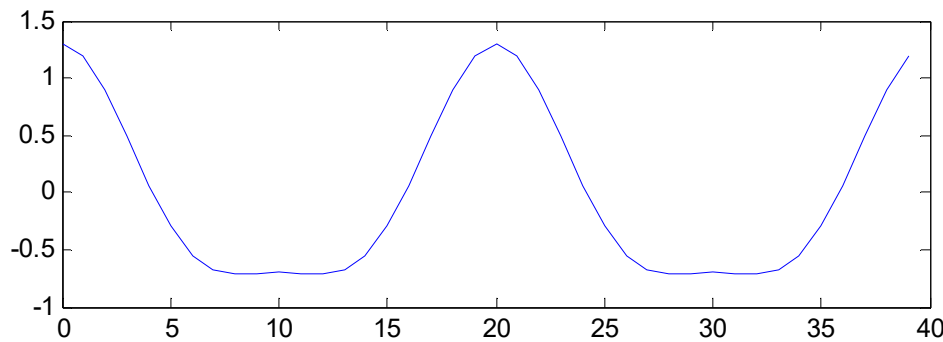
Operacija *downsampling*-a je vremenski zavisna

Downsampling sa
faktorom $M=4$



Vremenska zavisnost

Operacija *downsampling-a* je vremenski zavisna



Vremenska zavisnost

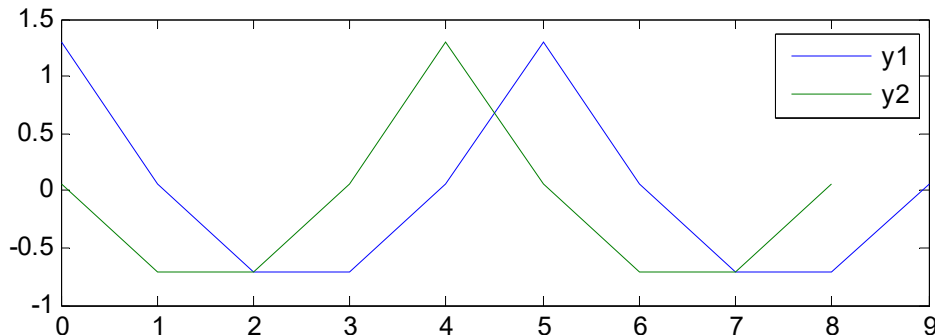
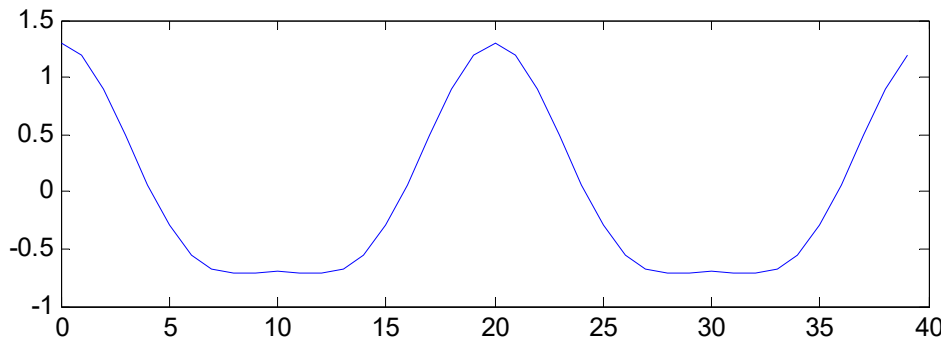
Operacija *downsampling*-a je **periodično** vremenski invarijantna

$$n_0 = kM$$

$$y_1[m] = x[mM - kM] = y\left[\frac{mM - kM}{M}\right] = y[m - k]$$

Vremenska zavisnost

Operacija *downsampling-a* je periodično vremenski invarijantna



Vremenska zavisnost

Operacija *upsampling-a* “čuva” oblik signala

$$y_1[m] = \begin{cases} x_1\left[\frac{m}{L}\right], & m = 0, \pm L, \pm 2L, \dots \\ 0, & \text{inace} \end{cases}$$

$$= \begin{cases} x\left[\frac{m - Ln_0}{L}\right], & m = 0, \pm L, \pm 2L, \dots \\ 0, & \text{inace} \end{cases} \neq y[m - n_0]$$

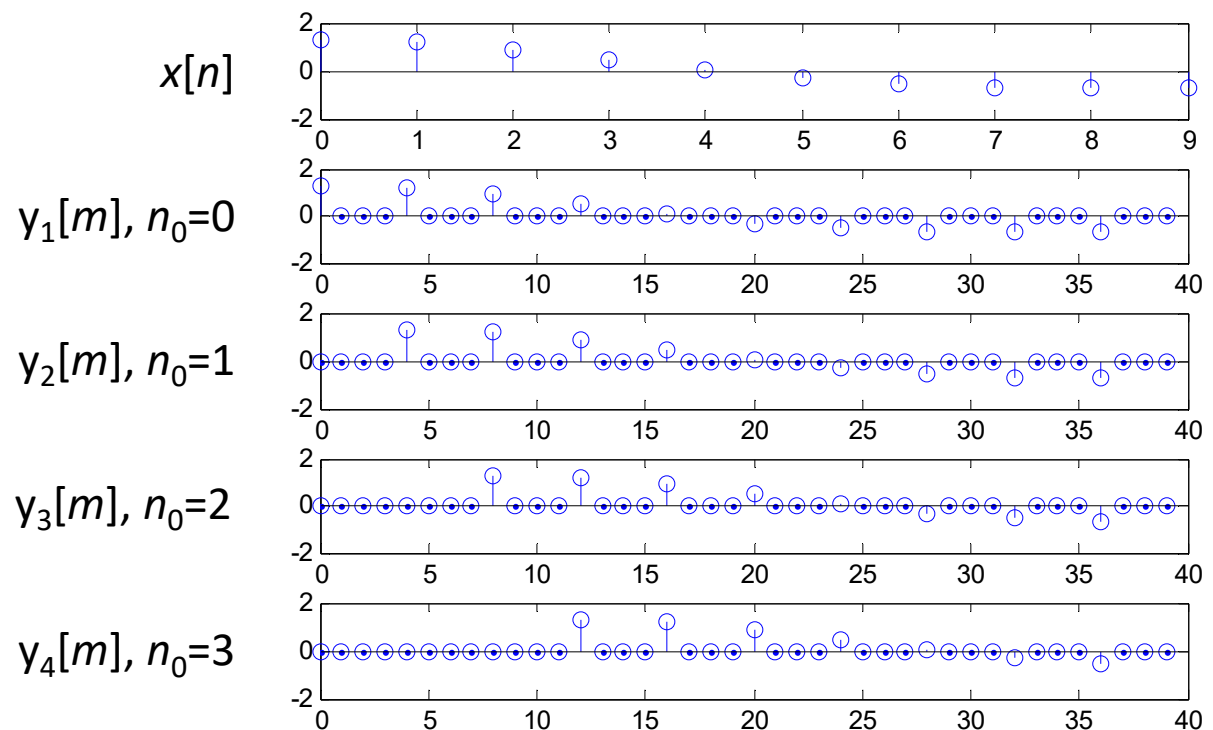
$$y[m - n_0] = \begin{cases} x\left[\frac{m - n_0}{L}\right], & m = n_0, n_0 \pm L, n_0 \pm 2L, \dots \\ 0, & \text{inace} \end{cases}$$

$$y_1[m] = y[m - Ln_0]$$

Vremenska zavisnost

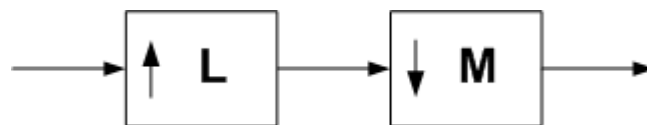
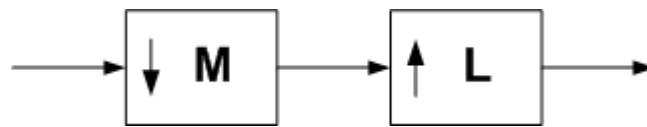
Operacija *upsampling-a*

Upsampling sa faktorom $L=4$

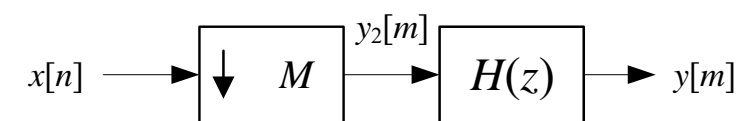
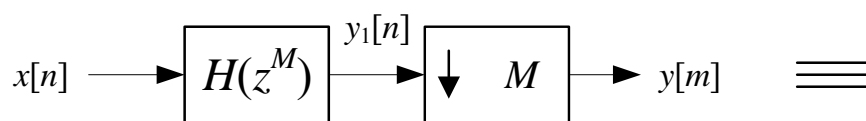
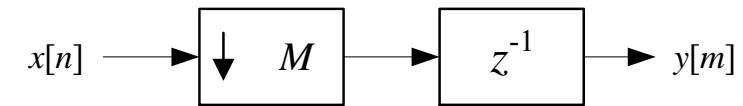
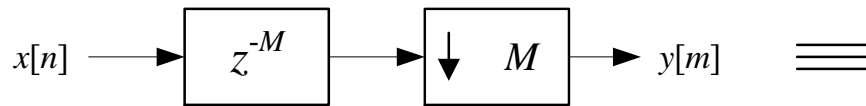
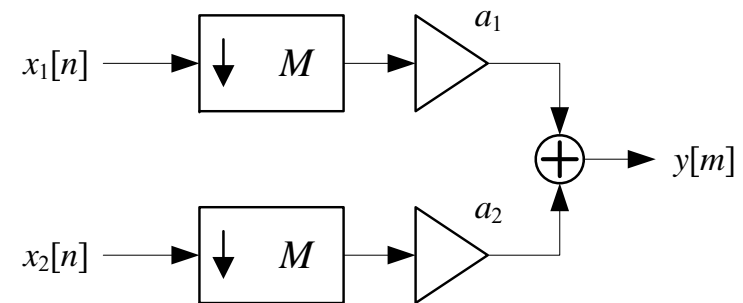
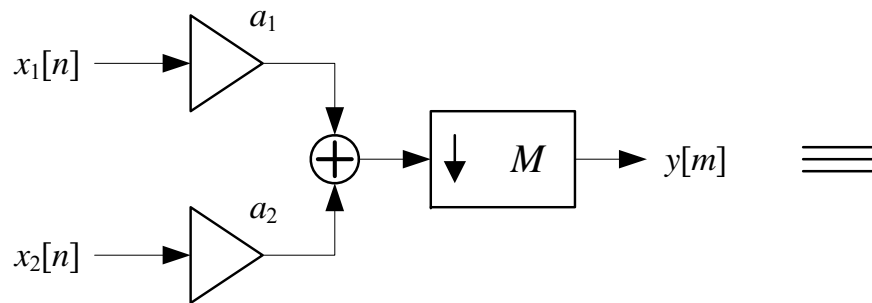


Kada operacije *downsample* i *upsample* mogu da zamene mesta?

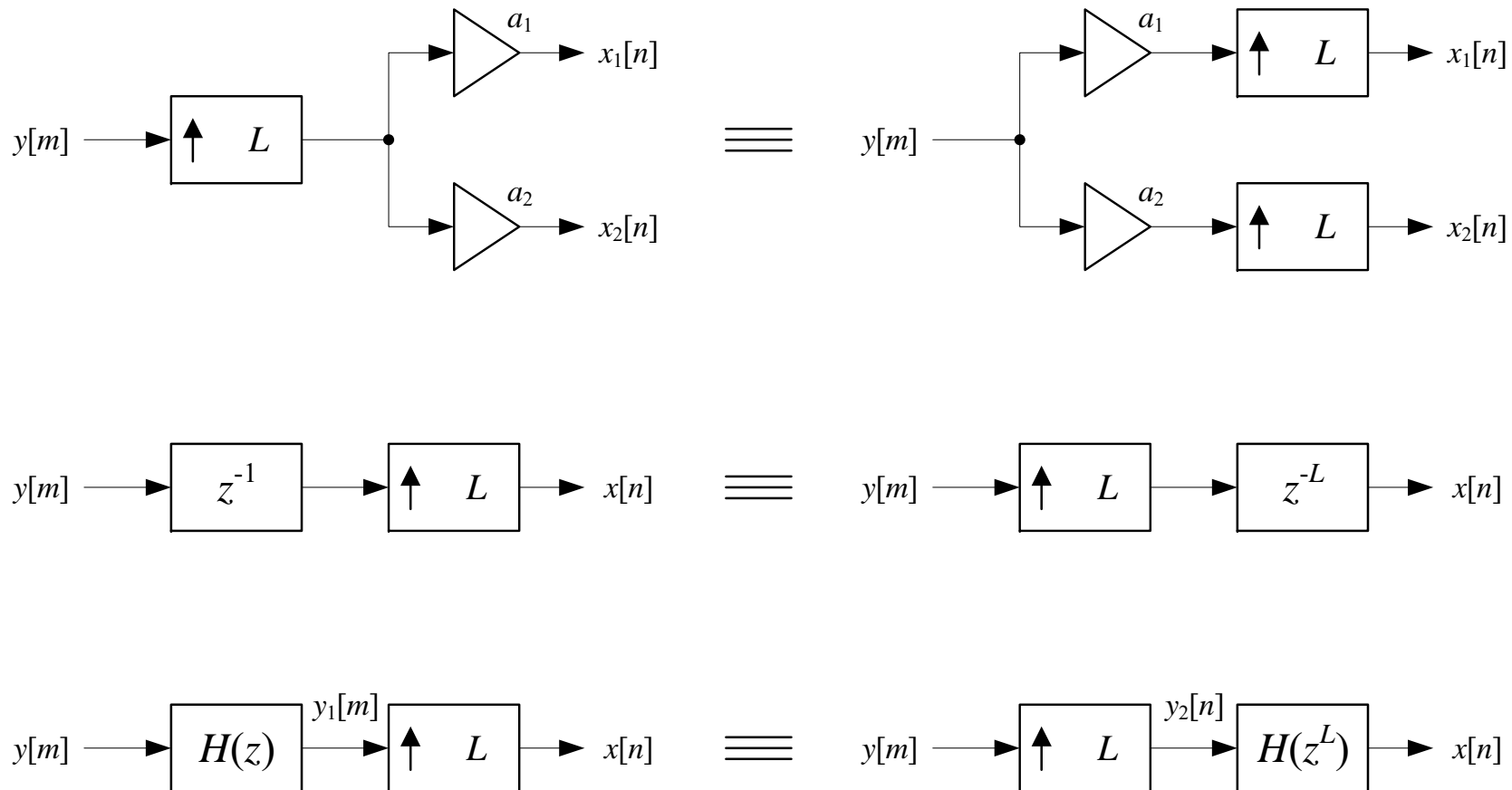
Kada su M i L uzajamno prosti



Osobine



Osobine



Osobine

$$H(z) = \sum_{n=0}^{N-1} h[n] z^{-n}$$

$$H(z^M) = \sum_{n=0}^{N-1} h[n] (z^M)^{-n} = \sum_{n=0}^{NM-1} h_i[n] z^{-n}$$

$$h_i[n] = \begin{cases} h\left[\frac{n}{M}\right], & n = 0, M, 2M, \dots \\ 0, & \text{inace} \end{cases}$$

$$H(z^M) = h[0](z^M)^0 + h[1](z^M)^{-1} + h[2](z^M)^{-2} + \dots + h[N-1](z^M)^{-(N-1)}$$

$$H(z^M) = h_i[0] + h_i[1]z^{-1} + \dots + h_i[M]z^{-M} + \dots$$